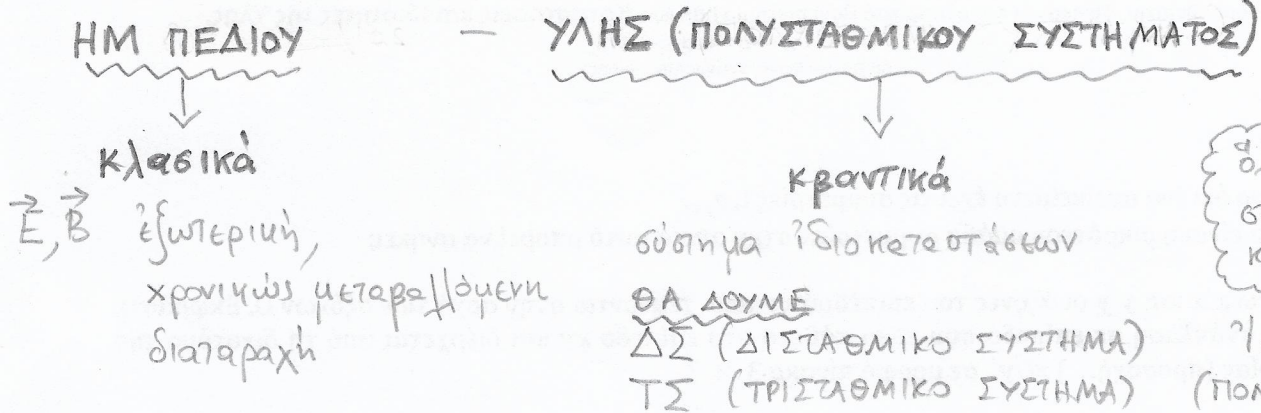


ΗΜΙΚΛΑΣΙΚΗ ΑΝΤΙΜΕΤΩΠΙΣΗ της ~~αλλη~~ επιδράσεως



Άκοντα διαθέτουμε: ΗΜ πεδίο άρκετά πικνό σύντομα ώστε
 ή απορρόφηση ή ή εκπομπή ένας φυσικός
 όπό το μπό μελέτη δισταγμάτων αυτην
 να μην μπορεί να έπιπεσει αισθητά
 τε ούτε το διεκτρικό και μαγνητικό πεδίον τον κύριαν

Άν μης ένδιαφέρεται η διαμήκηση της πικνότητας του ΗΜ πεδίου
 θα πρέπει να έργασεται την ικινδασική προσέγγιση

ΑΔΙΑΤΑΡΑΚΤΟ ΣΥΣΤΗΜΑ: συγκαντεύεται χωρίς ΗΜ πεδίο
 ΔΙΑΤΑΡΑΓΜΕΝΟ ΣΥΣΤΗΜΑ >> ΜΕ ΗΜ πεδίο

ΑΔΙΑΤΑΡΑΚΤΟ ΣΥΣΤΗΜΑ (ϵ κτός ΗΜ πεδίου)

$$\hat{H}_0 = \frac{\vec{P}^2}{2m_e} + U(\vec{r})$$

π.χ. @ ζώνη του Υδρογόνου $U(\vec{r}) = (-e) \frac{1}{4\pi\epsilon_0} \frac{e}{r} = \frac{-e^2}{4\pi\epsilon_0 r}$

π.χ. @ πολυεκτρονικό ζώνη $U(\vec{r}) = (-e) \frac{1}{4\pi\epsilon_0} \frac{Ze}{r} = \frac{-Ze^2}{4\pi\epsilon_0 r}$

π.χ. θιρακιούμενο (screened)
 μορφή της δυναμικής σεργείας

$$U(\vec{r}) = \frac{-Ze^2}{4\pi\epsilon_0 r} e^{-k_0 r}$$

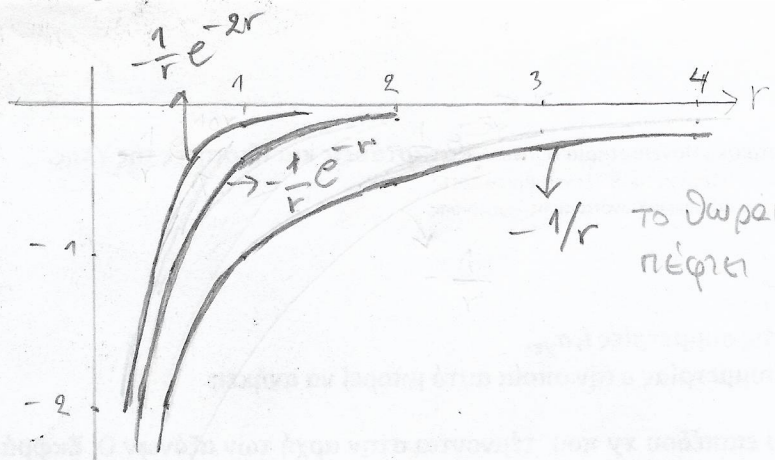
κεντρικά
 δυναμικά

Γενικότερο το Schwinger's Coulomb έχει τη μορφή $V(\vec{r}) = \frac{Ze}{4\pi\epsilon_0 r} = V(r)$

ενώ το θιρακιούμενο δυναμικό (Coulomb) \Rightarrow
 (3D) ή καλείται Thomas-Fermi Schwinger's
 ή Yukawa δυναμικό)

$$V(\vec{r}) = \frac{Ze}{4\pi\epsilon_0 r} e^{-k_0 r} = V(r)$$

$k_0 :=$ τοίχος των παρεργατικών διαστάσεων
 ή κυρτότητα Thomas - Fermi



$$\left. \begin{aligned} i\hbar \frac{\partial \Psi(\vec{r}, t)}{\partial t} &= \hat{H}_0 \Psi(\vec{r}, t) \\ \text{XM } \Psi(\vec{r}, t) &= \Phi(\vec{r}) T(t) \end{aligned} \right\} \quad \begin{aligned} i\hbar \Phi(\vec{r}) \frac{dT(t)}{dt} &= T(t) \hat{H}_0 \Phi(\vec{r}) \\ \text{av } T(t) = \phi \text{ in } \Phi(\vec{r}) = \phi \text{ iκανοποιείται} \end{aligned}$$

av $T(t) \neq \phi$ και $\Phi(\vec{r}) \neq \phi \rightsquigarrow \frac{i\hbar}{T(t)} \frac{dT(t)}{dt} = \frac{\hat{H}_0 \Phi(\vec{r})}{\Phi(\vec{r})} := E$ (σταθερά)
 $f_1(t)$ $f_2(\vec{r})$ για τα πολλά
 $\forall t, \forall \vec{r}$

① $\hat{H}_0 \Phi(\vec{r}) = E \Phi(\vec{r})$ είσιαν ιδιότητα, ένα γενικό σταύρωσης, θα συμβεί κάποιος αυθογνώμονας κβαντικός αριθμός k
 ⇒ η.χ. στο άριθμο των υπόρροφου $k = \{n, l, m\}$

$$\hat{H}_0 \Phi_k(\vec{r}) = E_k \Phi_k(\vec{r})$$

$$E_k := \hbar \omega_k$$

$\Phi_k(\vec{r})$ ξεσω ορθοκανονικές ιδιοσυναρτήσεις

② $\frac{dT}{T} = \frac{Edt}{i\hbar} \Rightarrow \ln T = \frac{Et}{i\hbar} + c \Rightarrow T(t) = e^{\frac{Et}{i\hbar}} e^c \Rightarrow T(t) = \mathcal{N} e^{\frac{-iEt}{\hbar}}$

Συνοψίαν

$$\Psi_k(\vec{r}, t) = \mathcal{N} e^{-\frac{iEt}{\hbar}} \Phi_k(\vec{r})$$

σταθερές κανονικοποιήσεις

Επιθεώρετε $\Phi_k(\vec{r})$ ορθοκανονικές

Στη διατήρηση $\int dV |\Psi_k(\vec{r})|^2 = 1 \Rightarrow |\mathcal{N}|^2 \int dV |\Phi_k(\vec{r})|^2 = 1 \Rightarrow |\mathcal{N}|^2 = 1$

$$dV := d^3 r$$

στοιχειώδης σύγκλιση

ΑΤΟΜΙΚΑ ΠΡΩΤΥΠΑ

ϊδεακτρόνιο 1897 J.J. Thomson

κυβικό πρότυπο (1902), πρότυπο σταριδοσφρώματος (1904), πρώτων Κρίσεων (1904)

πρώτων Rutherford (1911) → πρότυπο Bohr (1913)

παταίσκβατζική του

Σεξέλιγκ

ΑΤΟΜΙΚΟ ΠΡΩΤΥΠΟ Rutherford

πειράματα Rutherford ⇒ τα ιδεακτρία περισχέψονται όπως διότι έναν
μικρό, πυκνό, θετικός φορτισμένος πυρήνα

λογικό πρότυπο Rutherford: "ιδιώνως, κλωτίνω, <κινδυνός>"
ν. = λογικός <κινδυνός> ενοτήτων

$$F_{nl} = F_k \Rightarrow \frac{Ze^2}{4\pi\epsilon_0 r^2} = \frac{m_e v^2}{r} \Rightarrow v = \sqrt{\frac{Ze^2}{m_e 4\pi\epsilon_0 r}} \Rightarrow v = \sqrt{\frac{Ze^2}{m_e \epsilon_0 16\pi^3 r^3}}$$

$$v = wr = 2\pi r \quad \left. \begin{array}{l} \downarrow \\ E_{KIN} = \frac{Ze^2}{8\pi\epsilon_0 r} \\ E_{\Delta YN} = -\frac{Ze^2}{4\pi\epsilon_0 r} = -\frac{2Ze^2}{8\pi\epsilon_0 r} \end{array} \right\} \Rightarrow E_{\Delta Y} = -\frac{Ze^2}{8\pi\epsilon_0 r}$$

? Αντιρρήσεις

① Έστισμα Larmor

$$P = \frac{q^2 a^2}{6\pi\epsilon_0 c^3}$$

α: ζητάχυτων (Ζδω Ε κετροφύλακας
ζητάχυτων)

↳ οιχείς που έκπεινεται

q: φορτίο (Ζδω q = -e)

διό μη ακτινοβολητικό αντικακό φορτίο

που ζητάχυτεται

⇒ έκπονη ΗΜ ακτινοβολίας ⇒ $|E_{\Delta Y}| \uparrow \Rightarrow r \downarrow$

$E_{\Delta Y} < 0 \Rightarrow v \uparrow$

$\Rightarrow u \uparrow$

$\Rightarrow v \uparrow$



Το ιδεακτρόνιο χρειείται

καταγράφοντας για απεριστάντη κίμων

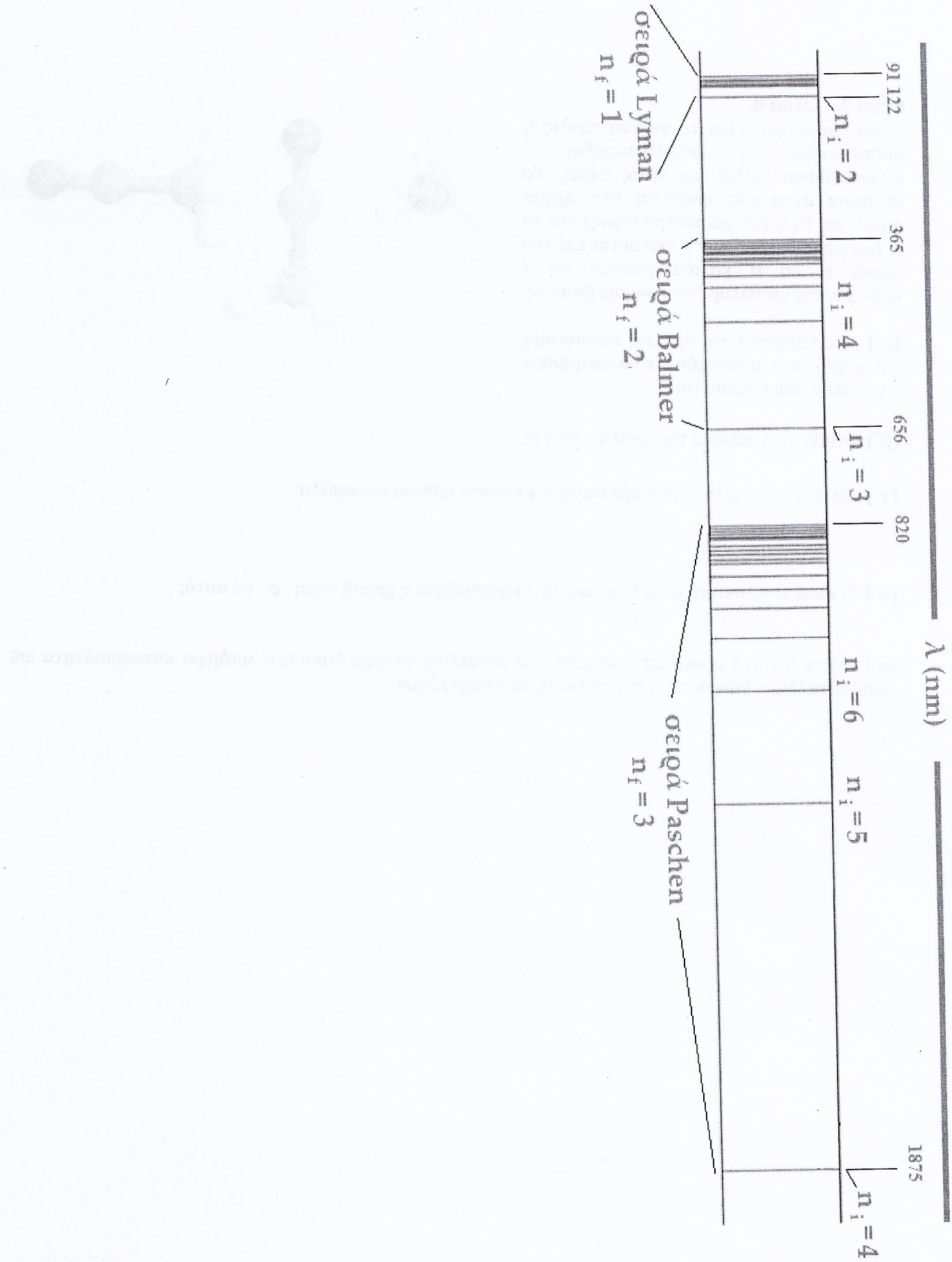
διούντα μικρότερης ακτίνας $r \downarrow$

μεγαλύτερης ταχύτητας $v \uparrow$

μεγαλύτερης ουχιότητας $v \uparrow$

... καταγράφοντας μικρά
στον πυρήνα

Διαβάζεις πρώτων Rutherford
είναι ένα καταπροβικό πρώτων



② $r \downarrow$ $v \uparrow$ $u \uparrow$
 συρεχώστε συντεχώστε συντεχώστε.

5

Πώς μπορεί αυτό να γυρισθεί ότι τα πειραματικά δεδομένα,
 τα δηλαδή, που έχουν το τέλος του 19ου αιώνα, έδειξαν ότι
 τα θέρευτα εκπέμπουν φως σε διακρίσις και όχι συρεχήστε
συντεχήστε;

Ατομικό Πρότυπο Bohr

κατέγραψε τα εξήγησε τα πειραματικά των Rydberg

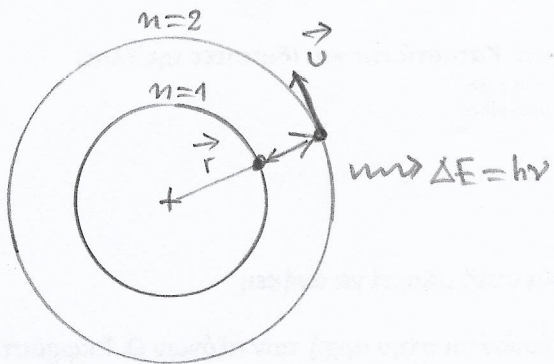
- για το θέρευτο του ηδρογόνου $\frac{1}{\lambda} = R \left(\frac{1}{n_1^2} - \frac{1}{n_2^2} \right)$

$$\text{σταδερέ Rydberg} \quad n_i \in \mathbb{N}^* \\ \approx 1.097 \times 10^7 \text{ m}^{-1} \quad n_1 < n_2$$

n_1	n_2	"Ορογνωμονική σειρά"	Συγκλιτικό πρό
1	$2 \rightarrow \infty$	Lyman	91.13 nm (UV)
2	$3 \rightarrow \infty$	Balmer	364.51 nm (~Visible)
3	$4 \rightarrow \infty$	Paschen	820.14 nm (IR)
4	$5 \rightarrow \infty$	Brackett	1458.03 nm (FIR)
5	$6 \rightarrow \infty$	Pfund	2278.17 nm (FIR)
6	$7 \rightarrow \infty$	Humphreys	3280.56 nm (FIR)

- για ηδρογονούδες θέρευτο $\frac{1}{\lambda} = RZ^2 \left(\frac{1}{n_1^2} - \frac{1}{n_2^2} \right)$
 $\text{He}^+, \text{Li}^{2+}, \text{Be}^{3+}$

- σε μεκριά ηλεκτρόνια πολυηλεκτρονικών θέρευτων
 θέρευτο έντερο πυρηνικός φορτίος ψηφής τα δευτερικά είναι
 ίσος με τη πυρηνική φορτίο, έτσι ότι έτσι,
 διαριζόνται από τη συστοίχημα ηλεκτρόνια



ΥΠΟΘΕΣΕΙΣ

- ① Το ηλεκτρόνιο κινείται σε κυκλική τροχιά λόγω $F_{\text{el}} = F_k$ και μπορεί σαν να γίνει της κλασικής υπόθεσης, δηλ. τοιχούς ή έξ. που γρέψεις προηγουμένως για τα $F_{\text{el}} = F_k, E_{\text{kin}}, E_{\text{pot}}, U, \nu$

- ② Άλλα, από τις ιδιότητες τροχιών που διατίθενται στην κλασική υπόθεση, το ηλεκτρόνιο ψερφί και κινείται όπου σε τροχιά :

$$\vec{L} = \vec{r} \times \vec{p} \quad L = rp = m_e r v = nh \quad n = 1, 2, 3, \dots$$

↓
(επιμέρως βραχές)

κύριος κβατινός αριθμός
principal quantum number

- ③ Στις κριτηριούμενες αυτές στάθιμες τροχιές (stationary orbits) το ηλεκτρόνιο ΔΕΝ ΑΚΤΙΝΟΒΟΛΕΙ (δεν βούλει ή έξ. Larmor για το P)

Σε αυτές τις τροχιές, σε καθορισμένες θεωρητικές διάστασης της πυρίνας,

το ηλεκτρόνιο έχει καθορισμένη, σταθερή ένέργεια.

Άλλα οι οποιες τροχιές φαντάζονται στην πυρίνα είναι

(energy shells)

η ένέργεια επίπεδα

(energy levels)

- ④ ΗΜ άκτινοβολίες έκπεινται ή διαπροσέργαν

όταν το ηλεκτρόνιο μεταβεί σε προτιμένη τροχιά

και η συνιστητική έκπεινται ή διαπροσέργανεται άκτινοβολίες είναι

$$h\nu = |E_i - E_f|$$

↓ ↓
initial final

$$m_e r = n \hbar$$

$$m_e \sqrt{\frac{Ze^2}{m_e 4\pi\epsilon_0 r}} r = n \hbar \Rightarrow m_e^2 r^2 \frac{Ze^2}{m_e 4\pi\epsilon_0 r} = n^2 \hbar^2 \Rightarrow r_n = \frac{4\pi\epsilon_0 \hbar^2}{Ze^2 m_e} n^2$$

$$a_0 := \frac{4\pi\epsilon_0 \hbar^2}{m_e e^2} \approx 0.529 \cdot 10^{-10} \text{ m}$$

aktive Bohr

$$r_1 \approx 0.529 \cdot 10^{-10} \text{ m} = a_0$$

aktive Bohr

$$r_2 = 4 r_1 = 4 a_0$$

$$r_3 = 9 r_1 = 9 a_0$$

$$E_{n\lambda\gamma} = E_n = -\frac{Ze^2}{8\pi\epsilon_0 r_n} = -\frac{Ze^2}{8\pi\epsilon_0 \cdot 4\pi\epsilon_0 \hbar^2 n^2} \Rightarrow E_n = -\frac{m_e Z^2 e^4}{32\pi^2 \epsilon_0^2 \hbar^2 n^2} \cdot \frac{1}{n^2}$$

$$R_E := \frac{m_e e^4}{32\pi^2 \epsilon_0^2 \hbar^2} = \frac{m_e e^4}{8\epsilon_0^2 \hbar^2} \approx 13.6 \text{ eV}$$

Rydberg érvényes

R_E Rydberg
érvényes
 $\approx 13.6 \text{ eV}$

$$E_n = -\frac{13.6 \text{ eV}}{n^2}$$

$$E_1 \approx -13.6 \text{ eV}$$

$$E_2 \approx -3.4 \text{ eV}$$

$$E_3 \approx -1.5 \text{ eV}$$

ΠΡΟΤΥΠΟ ΑΤΟΜΙΚΩΝ ΤΡΟΧΙΑΚΩΝ

στο ίδιο χρόνο $E_{nlm} = E_n$

$$\Psi_{nlm}(\vec{r}) \quad E_{nlm}$$

σε πολυελεκτρονικά άτομα $E_{nlm} = E_{nl}$

η πάση μαγνητικός πεδίο E_{nlm} αλλάζει

διαφορετικός

(φαινόμενο Zeeman)

- $n :=$ κύριος κβατικός αριθμός $n = 1, 2, 3, \dots$
- ⊗ δριζει το φλοιό (shell) K, L, M, \dots
- ⊗ προσδιορίζει τη μέση απόσταση του ηλεκτρονίου από τα πυρήνα

Έτσι στο ζάρι πρότυπο Bohr, δημιουργείται η κυριαρχία των πυρήνων

- $l :=$ δευτερεύων κβατικός αριθμός \in κβατικός αριθμός τροχιακής σφραγίδας
secondary quantum number orbital angular momentum quantum number

$$l = 0, 1, 2, 3, \dots, n-1$$

$\downarrow \quad \downarrow \quad \downarrow \quad \downarrow$
s p d f

⊗ δριζει τον υποφλοιό (subshell)

⊗ προσδιορίζει τη μορφή της πολυτιττας πιθανότητας εύρεσης του ηλεκτρονίου στο χώρο

δημιουργεί τον αριθμό $(n-1)$
των υποφλοιών εντός φλοιού

- $m :=$ μαγνητικός κβατικός αριθμός

$$m = 0, \pm 1, \pm 2, \dots, \pm l$$

$$(2l+1) \text{ τιμές}$$

ουρανίκος αριθμός

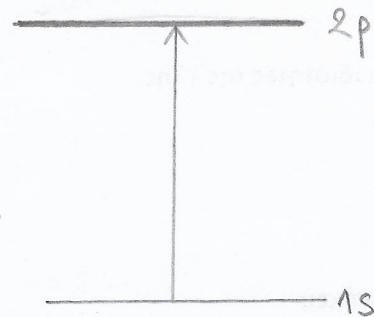
των ενέργειακων καταστάσεων
εντός υποφλοιού

energy states

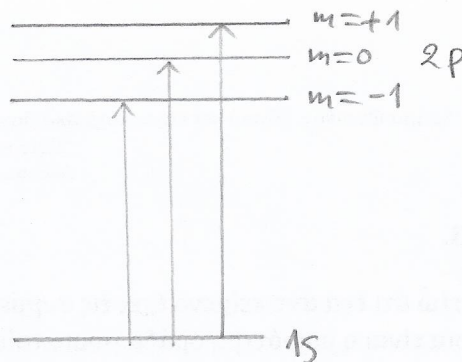
π.χ. για $l=3 \Rightarrow m = 0, \pm 1, \pm 2, \pm 3 \Rightarrow 7$ ενέργειαικές καταστάσεις σε υποφλοιό f

Άποψιας ξενιστικού μαγνητικού πεδίου σε ενέργειαικές καταστάσεις εντός υποφλοιού
είναι έκφυλισμένες. Ο έκφυλισμός αλλάζει η πάση μαγνητικός πεδίο (φαινόμενο Zeeman)

$$m_s = \pm \frac{1}{2} \quad \text{για το σπίν}$$



φαινόμενο
Zeeman



9

χωρίς μαγνητικό πεδίο

με μαγνητικό πεδίο